

文章编号:1671-6833(2020)06-0040-06

应用精英档案和反向学习的多目标差分进化算法

汪慎文^{1,2}, 王佳莹^{1,2}, 张佳星^{1,2}, 王 峰³, 王 晖⁴

(1.河北地质大学 信息工程学院,河北 石家庄 050031; 2.河北地质大学 人工智能与机器学习研究室,河北 石家庄 050031; 3.武汉大学 计算机学院,湖北 武汉 430072; 4.南昌工程学院 信息工程学院,江西 南昌 330099)

摘 要: 针对多目标优化问题日渐复杂的情况,受集成算法思想的启发,提出一种应用精英档案和反向学习的多目标差分进化算法。该算法通过建立一个外部档案来保存种群进化过程中的非支配解,提高算法收敛速度。在进化过程中根据反向学习代跳跃概率,使用反向学习生成反向解,扩大搜索范围,提高种群多样性。利用网格系统确定解的坐标,并根据一定的约束生成交叉池,在交叉池中选择父代个体,利用差分进化算法产生新个体,通过网格约束分解排序算法选择下一代种群。将此算法与其他算法在 UF 测试函数上进行实验,结果表明:所提出的算法在解决无约束多目标优化问题上得到 Pareto 前沿形状有较强的鲁棒性。

关键词: 多目标优化;精英档案;反向学习;差分进化算法;网格约束分解

中图分类号: TU528.1 文献标志码: A doi:10.13705/j.issn.1671-6833.2020.06.011

0 引言

现实生活中很多优化问题都含有多个待优化目标,例如,工业生产问题中要求用较低的成本获得较高质量的商品^[1],车辆调度问题中要求用较低的成本获得较高的服务质量^[2]等,以上这些优化问题统称为多目标优化问题(multi-objective optimization problem, MOP)。MOP 问题特点在于其多个优化目标之间往往相互冲突,即找不到一个解能同时使得所有目标取得最优。对于这类问题,传统的解决办法是取一组权重向量,把多目标优化问题转为单目标优化问题,而现代主流思想是利用进化算法为 MOP 问题求得一组折衷解,决策者根据偏好信息从中选择一个作为最终方案。

自多目标优化进化算法(multi-objective evolutionary algorithm, MOEA)被提出后,研究者基于不同的视角和研究动机,提出大量经典 MOEA 算法。根据算法特征,大体可以分为如下几类:①基于 Pareto 占优机制的 MOEA 算法,利用 Pareto 支

配关系对个体进行非支配排序,如 NSGA-II^[3]、SPEAR^[4]等。这类算法具有控制参数少,简单易实现等优点,但是在处理复杂前沿和高维目标问题时效果不理想。②基于目标分解的 MOEA 算法,核心思想是把 MOP 问题转化为多个简单子问题,如 MOEA/D^[5]、RVEA^[6]、CDG-MOEA^[7]等。这类算法运行效率高、收敛速度快,但是受权值向量分布的限制,在处理具有不规则 Pareto 前沿的 MOP 问题时性能不佳。③基于新型进化范例的 MOEA 算法,将性能优越的进化算法移植到多目标优化问题求解中,如基于粒子群优化的 CMOPSO^[8],基于差分进化算法的 SMEA^[9]等。这些算法拓宽了解决复杂 MOP 问题的途径,给从业人员提供更多的选择空间。④不同策略的 MOEA 集成算法,这类算法把优势互补的策略集成在一起,进一步提高算法的性能,如 AOL-MOEA^[10]、MSMOPSO^[11]、BCMOEAD^[12]、MOE-ADDU^[13]等。近年来,集成 MOEA 算法引起研究者广泛的关注,获得了很多集成框架和模型,取得了很好的效果。

收稿日期:2020-08-10;修订日期:2020-10-20
基金项目:河北省科技厅重点研发项目(19970311D, 20373303D);河北省教育厅自然科学基金资助项目(ZD2020344)
作者简介:汪慎文(1979—),男,湖北红安人,河北地质大学教授,博士,主要从事智能计算、机器学习等方面的研究,E-mail:wangshenwen@hgu.edu.cn。

受 MOEA 集成算法设计思想的启发,本文提出一种应用精英档案和反向学习的多目标差分进化算法 (EOL-MODE)。该算法创新之处在于:设置一个外部档案来保留进化过程中的非支配解,增强算法局部搜索能力,提高算法收敛速度;反向学习产生外部档案中的反向解,增强算法逃逸局部极值的能力,同时也增强解的多样性;网络约束分解对于 Pareto 前沿形状有较强的鲁棒性,特别适合处理前沿复杂的优化问题。EOL-MODE 算法将 3 种策略有机集成,有效平衡算法的全局勘探能力和局部开采能力,以便解决复杂多目标优化问题。

1 基本概念

1.1 多目标基本概念

多目标优化问题可以定义为:

$$\begin{aligned} \text{minimize } F(\mathbf{x}) &= (f_1(\mathbf{x}), \dots, f_m(\mathbf{x}))^T, \\ \text{subject to } \mathbf{x} &\in \Omega. \end{aligned} \quad (1)$$

式中: $\Omega \subset \mathbf{R}^n$ 是决策空间; $\mathbf{x} = (x_1, x_2, \dots, x_n)^T$ 是决策向量; $F(\mathbf{x})$ 是 m 维从决策空间映射到目标空间的目标函数。

定义 1 (Pareto 支配) 假设 x, y 是多目标优化问题的可行解, 称 x 支配 y , 当且仅当

$$\begin{aligned} \forall i = 1, 2, \dots, m, f_i(\mathbf{x}) &\leq f_i(\mathbf{y}), \\ \text{且 } \exists j = 1, 2, \dots, m, f_j(\mathbf{x}) &< f_j(\mathbf{y}). \end{aligned} \quad (2)$$

定义 2 (Pareto 最优解集) 如果解 $\mathbf{x}^* \in \Omega$ 不被任何别的解支配, \mathbf{x}^* 就是 Pareto 最优解。由 Pareto 最优解构成的集合就是 Pareto 最优解集。

定义 3 (Pareto 前沿, PF) Pareto 最优解集中的所有 Pareto 最优解在目标函数空间中对应的目标向量组成的集合。

多目标优化问题的最终目标就是在目标空间用一组解集去近似 Pareto 前沿, 让解集尽量均匀分布在 Pareto 前沿面。

1.2 网格约束分解排序

网格约束分解的主要思想是把每个目标在理想点和边界点之间划分 K 个间隔, 建立一个网格系统, 求每个解在网格中的位置坐标。通过对位置坐标进行变换, 选取每个目标子问题最小解。

定义 4 (理想点) 目标空间中所有解在每个目标上的最小值 $\mathbf{z}^*, \mathbf{z}^* = \{z_1^*, z_2^*, \dots, z_m^*\}^T$ 。

$$z_j^* = \min_{\mathbf{x} \in \Omega} f_j(\mathbf{x}), j \in \{1, 2, \dots, m\}. \quad (3)$$

定义 5 (边界点) 目标空间中接近理想点的

解集 SP 中的非支配解, 在每个目标上的最大值 $\mathbf{z}^{\text{nad}}, \mathbf{z}^{\text{nad}} = \{z_1^{\text{nad}}, z_2^{\text{nad}}, \dots, z_m^{\text{nad}}\}^T$ 。

$$z_j^{\text{nad}} = \max_{\mathbf{x} \in SP} f_j(\mathbf{x}), j \in \{1, 2, \dots, m\}. \quad (4)$$

$$SP = \{\mathbf{x} | f_j(\mathbf{x}) < \frac{4z_j^*}{5} + \frac{z_j^{\text{nad}}}{5}, \mathbf{x} \in \Omega\}. \quad (5)$$

定义 6 (位置坐标) 把每个目标划分成 K 个等距离的小区间, 划分后每个小区间的宽度为 d_j :

$$d_j = (z_j^{\text{nad}} - z_j^* + 2\sigma)/K. \quad (6)$$

解 \mathbf{x} 沿第 j 个目标在网格中的位置 $g_j(\mathbf{x})$:

$$g_j(\mathbf{x}) = \lceil (f_j(\mathbf{x}) - z_j^* + \sigma)/d_j \rceil. \quad (7)$$

式中: σ 为一个极小的值, 确保网格宽度 $d > 0$, 同时每个解在网格位置坐标 $g_j(\mathbf{x}) > 0$ 。

定义 7 (邻居解) 解 \mathbf{x} 在距离 T 之内的网格邻居:

$$GN(\mathbf{x}, T) = \{\mathbf{x}^* | \max_{j=1, \dots, m} (|g_j(\mathbf{x}) - g_j(\mathbf{x}^*)|) \leq T\}. \quad (8)$$

定义 8 (网格约束分解) 基于网格约束方法划分并计算每个目标的子问题, 对每个目标子问题排序, 再按字典升序排序选择前 N 个较优解。第 l 个目标的第 k 个子问题的约束分解方法计算公式为:

$$\begin{aligned} \text{minimize } f_l(\mathbf{x}), \text{ subject to } g_j(\mathbf{x}) &= k_j, \\ j &= 1, \dots, m, j \neq l, k_j \in \{1, \dots, K\}, \mathbf{x} \in \Omega. \end{aligned} \quad (9)$$

用网格约束分解排序来选择较优的个体, 包括更新理想点和边界点, 更新每个解的网格坐标, 用约束分解排序来选择更优的个体进入下一次迭代过程。

算法 1: 网格排序选择。

输入: 当前合并后种群 P , 种群规模 N

输出: 更新的种群 P , 理想点 \mathbf{z}^* , 边界点 \mathbf{z}^{nad}

1. 按式 (3)、(4) 更新 \mathbf{z}^* 和 \mathbf{z}^{nad} , 更新网格系统
2. 移除在边界点外的解 P'
3. 按式 (7) 更新种群 P 中每个解的位置坐标
4. if $|P| < N$ then
5. 从 P' 中选择 $N - |P|$ 个体, 加入到种群 P 中
6. else
7. 按式 (9) 选择前 N 个解
8. end if

2 EOL-MODE 算法

2.1 外部精英档案

在种群的进化过程中, 通过差分进化 (differential evolution, DE)^[14] 算法中的变异杂交策略不断地产生新解, 但新解不一定会支配历史非支配

解,因此设置一个外部档案来保存算法在进化中产生的非支配解^[15]。这些非支配解是在迭代过程中获得的某种最优解,也被称为精英解,精英解携带一定的优良基因,加以利用可引导算法向最优解收敛。

初始时,外部档案为空,将初始种群中的非支配解保存到外部档案。在迭代过程中,利用网格约束排序算法对 DE 操作前后的种群进行选择,构造一个非支配解集合。并与上一代外部档案中的精英解进行合并,对外部档案中精英个体进行更新,维持种群的多样性。当外部档案中的解容量达到最大值时,要删除一些个体从而维持档案规模,并保持档案的多样性。

算法 2:更新外部档案。

输入:合并后种群非支配解为 Arc , 档案最大规模为 A

输出:更新档案中的非支配解

- 1.if $|Arc| \leq A$ then
2. 利用非支配排序更新档案,除去被支配的个体
- 3.else
4. 执行算法 1 选出前 A 个最优个体
- 5.end if

2.2 反向学习策略

在求种群非支配解时,计算其反向解,将当前解和反向解同时参与竞争,提高搜索到最优解所在空间的概率,扩大解的搜索范围,使其跳出局部最优,引导种群找到最优解,从而提高算法向全局最优解收敛的速度。解 x_j 在 N 维空间的反向解 x_j^* 计算如下:

$$x_j^* = k(a_j + b_j) - x_j, x_j \in [a_j, b_j]。 (10)$$

式中: k 是 0~1 之间随机数,控制在搜索区间中。反向解的例子如图 1 所示。

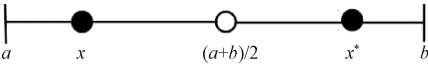


图 1 反向解的例子

Figure 1 An example of an opposition solution

以一定的反向学习代跳跃概率 p 对外部档案中的每一个精英解执行反向学习,生成精英反向解。让反向种群和当前种群共同参与进化竞争,保留优秀的个体进入下一代进行繁殖。

算法 3:反向学习伪代码。

输入:种群非支配解 Arc ,反向学习代跳跃概率 p

输出:反向学习种群 GOA

1. $GOA = \emptyset$
- 2.if $rand(0,1) < p$ then

3. 按式 (10)对 Arc 执行反向学习策略得到 GOA
- 4.end if

2.3 EOL-MODE 算法流程

受 MOEA 集成算法设计思想的启发,本文提出集成多种策略的 EOL-MODE 算法。以解的网格邻居 NS 作为交叉池,利用 DE 算法生成新的个体。对外部档案中精英个体进行反向学习,维持档案规模,直到满足终止条件。算法 4 描述了具体的算法步骤。

算法 4:EOL-MODE 算法。

输入:种群规模 N ,外部档案最大规模 A ,网格划分参数 K ,网格邻居距离参数 T ,杂交父代个体来自网格邻居解概率 δ ,评估次数 FEs_{max}

输出:外部精英档案解 Arc

- 1.随机生成规模为 N 的初始种群 P ,初始化档案 $Arc = \emptyset, FEs = N$
- 2.构造初始种群 P 的非支配解,存放到外部档案 Arc 中,按式 (3)、(4)计算 z^* 和 z^{nad} ,按式 (7)计算每个解在网格系统的坐标
- 3.while ($FEs < FEs_{max}$)
4. $Q = \emptyset$
5. for $i = 1$ to $|N|$
6. if $rand(0,1) < \delta$ and $|GN| < 2$ then
7. $NS = GN(x, T)$
8. else
9. $NS = P$
10. end if
11. 从交叉池 NS 中随机选择两个解,与 x_i 用 DE 算法产生新个体,添加到集合 Q 中
12. end for
13. 对 Arc 执行算法 3 反向学习得到 GOA
14. 合并种群 P 、子代种群 Q 、反向学习种群 GOQ
15. 执行算法 1 选出前 N 个最优个体,构造其非支配解集 Arc'
16. 合并 Arc' 与外部档案个体解 Arc ,按算法 2 更新并维持外部档案
17. 更新网格系统中当前解的位置坐标
- 18.end while
- 19.输出外部精英档案中非支配解 Arc

3 实验仿真与结果分析

为了验证所提出的 EOL-MODE 算法的性能,选取 UF 系列问题进行测试,并与 7 个多目标优化算法进行对比,包括 BCEMOEA^[12]、SMEA^[9]、

MOEADDU^[13]、CMOPSO^[8]、SPEAR^[4]、RVEA^[6]、NSGAII-SDR^[3]。其中,UF1~UF7 为 2 目标问题,UF8~UF10 为 3 目标问题。

3.1 实验参数设置

由文献[7]可知,种群大小 N 和划分参数 K 存在一个隐含关系, $N = \theta K^{m-1}$,其中 $\theta = \alpha m / \beta$, α 为子问题的最优平均解的个数, β 为取决于 PF 形状的系数。

实验中 2 目标测试函数种群规模 $N=300$,外部档案 $N=300$,网格划分参数 $K=180$,网格间距 $T=5$;3 目标测试函数种群规模 $N=600$,外部档案 $N=600$,网格划分参数 $K=30$,网格间距 $T=1$;反向学习代跳跃概率 $p=0.3$;杂交个体来自网格邻居解概率 $\delta=0.8$;DE 算子中缩放因子 $F=0.5$,交叉概率 $CR=1$ 。所有测试函数决策空间是 30 维,最大评估次数为 300 000 次,每个算法独立运行 30 次。

采用 MATLAB R2019 进行编程,选用的仿真平台为 PlatEMO^[16],64 位 Windows 8 操作系统,电脑配置 8G 内存。

3.2 与其他算法的性能对比结果与分析

实验中选取反向迭代距离 IGD 作为评估指标。 IGD 是指真实 PF 中的点到所求 Pareto 解集中的解的最小距离的平均值, IGD 值越小,越能更好地近似整个 PF。文中对比 8 个多目标优化算法在 10 个测试函数的 IGD 性能如表 1 所示。其中,表 1 中每个函数第一行数据代表算法独立执行 30 次后取的均值,第二行括号内数据代表标准差值,下同,最优值用加粗字体显示。

从表 1 可以看出,EOL-MODE 算法在大多数测试函数上的 IGD 性能指标都优于其他算法,处理 UF1、UF3、UF7 问题上相对于 NSGAII-SDR 等算法有数量级上的提升,虽然在 UF4、UF5、UF8、UF9 测试问题上 EOL-MODE 算法比其他算法要差一些,但性能差别不大。图 2 是 8 个算法在 UF1 测试函数上得到的 Pareto 前沿面。可以看出,本文提出的 EOL-MODE 算法在求解 UF1 问题时,算法具有较优的性能,求得的 Pareto 前沿面最接近真实前沿。

表 1 8 个多目标优化算法在 10 个测试问题上的 IGD 性能对比结果

测试函数	EOL-MODE	BCE-MOEAD	SMEA	MOEAD-DU	CMOPSO	SPEAR	RVEA	NSGAII-SDR
UF1	5.174 5e-3 (3.20e-4)	6.876 4e-2 (3.66e-2)	2.270 2e-2 (4.44e-3)	5.466 7e-2 (1.04e-2)	3.129 2e-2 (5.21e-3)	5.820 8e-2 (1.52e-2)	7.835 0e-2 (6.44e-3)	6.783 0e-2 (1.61e-2)
UF2	1.317 5e-2 (9.59e-4)	3.727 4e-2 (2.53e-2)	1.592 1e-2 (2.17e-3)	2.136 1e-2 (5.76e-3)	1.710 7e-2 (4.24e-3)	2.109 0e-2 (9.00e-3)	5.617 7e-2 (5.74e-3)	2.879 0e-2 (8.25e-3)
UF3	3.776 7e-2 (2.06e-2)	2.267 2e-1 (3.99e-2)	4.461 5e-2 (2.46e-3)	7.046 1e-2 (1.03e-2)	9.133 7e-2 (1.32e-2)	1.304 1e-1 (3.24e-2)	2.943 2e-1 (3.71e-2)	2.042 4e-1 (4.38e-2)
UF4	5.559 7e-2 (4.11e-3)	3.939 8e-2 (1.18e-3)	5.412 8e-2 (3.14e-3)	3.906 0e-2 (8.92e-4)	6.598 4e-2 (3.44e-3)	3.930 4e-2 (1.00e-3)	7.889 6e-2 (3.13e-3)	4.1420e-2 (3.18e-4)
UF5	3.927 3e-1 (1.72e-1)	3.121 7e-1 (1.25e-1)	4.575 0e-1 (1.04e-1)	3.517 5e-1 (4.80e-2)	3.455 4e-1 (1.76e-1)	2.180 4e-1 (5.16e-2)	2.706 7e-1 (7.28e-2)	2.173 8e-1 (4.21e-2)
UF6	1.168 5e-1 (2.48e-2)	2.384 9e-1 (1.31e-1)	2.302 9e-1 (3.77e-2)	1.144 1e-1 (3.36e-2)	1.596 2e-1 (1.08e-1)	1.174 9e-1 (2.19e-2)	1.491 1e-1 (7.55e-2)	1.180 6e-1 (1.36e-2)
UF7	6.855 6e-3 (4.13e-3)	1.410 1e-1 (1.54e-1)	8.662 5e-3 (8.57e-4)	2.579 3e-2 (3.52e-2)	3.201 9e-2 (6.09e-2)	4.835 5e-2 (7.81e-2)	7.124 0e-2 (6.76e-2)	5.168 1e-2 (7.33e-2)
UF8	2.732 0e-1 (6.42e-2)	1.119 4e-1 (6.89e-2)	1.179 5e-1 (9.51e-3)	1.272 0e-1 (6.24e-2)	5.080 3e-1 (6.67e-2)	9.606 1e-2 (4.08e-2)	2.910 6e-1 (5.27e-2)	1.050 4e-1 (2.94e-2)
UF9	1.546 9e-1 (9.81e-2)	1.673 4e-1 (7.40e-2)	8.536 3e-2 (3.68e-3)	1.061 4e-1 (5.63e-2)	7.606 2e-1 (1.41e-1)	1.667 1e-1 (7.13e-2)	2.364 2e-1 (8.03e-2)	1.925 1e-1 (1.19e-1)
UF10	2.947 3e-1 (6.42e-2)	4.433 4e-1 (1.12e-1)	2.293 7e+0 (2.77e-1)	2.955 3e-1 (7.13e-2)	3.438 4e+0 (3.76e-1)	2.949 3e-1 (2.04e-2)	4.685 5e-1 (1.14e-1)	3.165 9e-1 (4.51e-2)

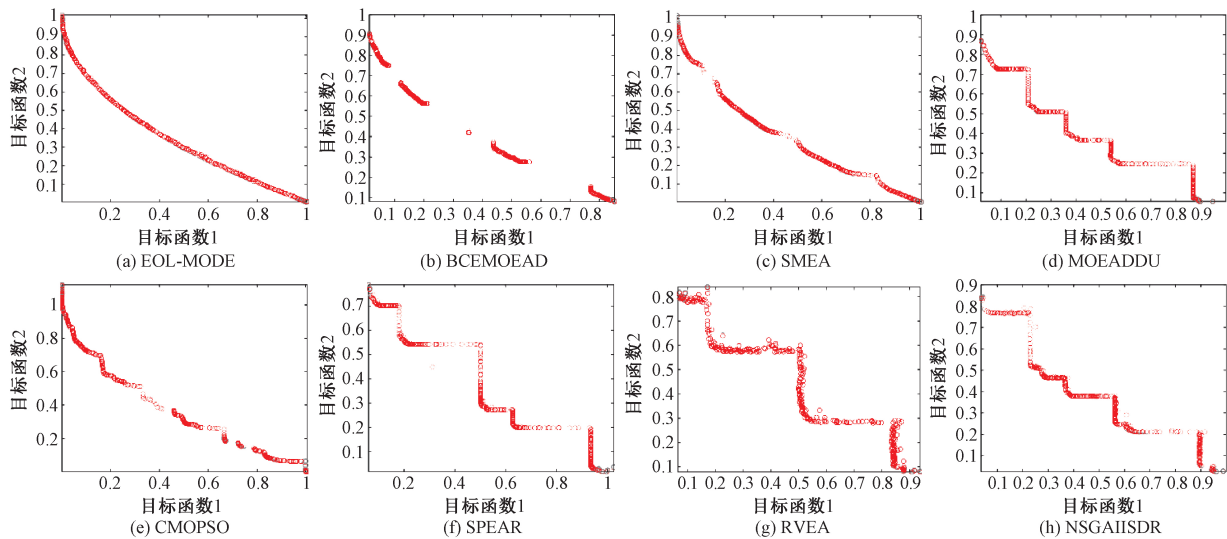


图 2 8 个算法在 UF1 测试问题上得到的 PF

Figure 2 The final PF obtained by eight algorithms on UF1

图 3 是选取的 8 个算法在 UF1 测试函数上 IGD 结果对比,相比之下 EOL-MODE 算法取得的结果最好,收敛速度最快。

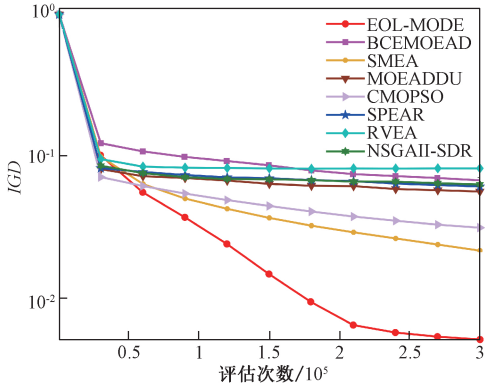


图 3 IGD 性能评估

Figure 3 The IGD performance of function evaluation

3.3 集成策略有效性分析

为了检验外部精英档案和反向学习机制的有效性,对比只加入反向学习机制的算法(OL-MODE),和只加入外部精英档案的算法(EL-MODE),在 UF1~UF10 测试函数上进行实验,对比结果见表 2。

从表 2 中可以看出,OL-MODE 只在 UF3 测试函数上获得较好的 IGD 指标值,这表明加入外部精英档案能让算法收敛的更快,提高算法求得解的质量。EL-MODE 在 UF2、UF8 测试函数上获得较好的 IGD 指标值,这表明加入反向学习策略,可以让种群在更广的范围内搜索到最优解。通过表中数据可以得出,加入精英档案机制更能

引起算法性能的提升。结合这两种机制的 EOL-MODE 算法,在多样性和收敛性方面要更加有优势,证明了集成策略的有效性。

表 2 3 个算法的 IGD 性能对比结果

Table 2 The IGD performance of three algorithms

测试函数	EOL-MODE	OL-MODE	EL-MODE
UF1	5.174 5e-3 (3.20e-4)	7.707 2e-3 (5.81e-4)	5.676 6e-3 (3.28e-4)
UF2	1.317 5e-2 (9.59e-4)	1.465 3e-2 (1.26e-3)	1.2128e-2 (1.39e-3)
UF3	3.776 7e-2 (2.06e-2)	2.926 4e-2 (1.58e-2)	3.291 0e-2 (2.51e-2)
UF4	5.559 7e-2 (4.11e-3)	5.561 9e-2 (2.58e-3)	5.571 0e-2 (2.69e-3)
UF5	3.927 3e-1 (1.72e-1)	4.004 9e-1 (1.64e-1)	4.265 7e-1 (2.13e-1)
UF6	1.168 5e-1 (2.48e-2)	1.742 5e-1 (9.45e-2)	1.722 8e-1 (9.22e-2)
UF7	6.855 6e-3 (4.13e-3)	1.371 7e-2 (8.05e-3)	1.032 1e-2 (6.39e-3)
UF8	2.732 0e-1 (6.42e-2)	2.228 1e-1 (1.29e-1)	1.811 5e-1 (1.23e-1)
UF9	1.546 9e-1 (9.81e-2)	2.307 6e-1 (1.26e-1)	1.919 1e-1 (1.14e-1)
UF10	2.947 3e-1 (6.42e-2)	2.495 1e+0 (6.43e-1)	1.483 2e+0 (4.73e-1)

4 结论

为了更好地求解多目标优化问题,本文提出了 EOL-MODE 算法,利用外部精英档案来保存进化过程中的非支配解;引入反向学习机制来扩大解的搜索范围,增强解的多样性;求出每个解的网格邻居解,执行差分进化操作,实现局部搜索;利用网格约束分解排序选取较优解,提高算法收敛性,找到的解分布均匀,且多样性保持好。通过仿真实验,对精英档案和反向学习的有效性进行了评估。将该算法与多个多目标优化算法在 UF 测试函数上的性能进行了比较,结果表明,EOL-MODE 算法具有很好的效果。下一步的工作是继续对算法进行优化,使算法在处理大规模问题时具有更好的稳定性。

参考文献:

[1] Van NIEKERK S G J, BREYTENBACH W J J, MARAIS J H. Developing an optimisation model for industrial furnace gaseous fuel distribution for energy cost savings [C]//2017 International Conference on the Industrial and Commercial Use of Energy (ICUE). New York: IEEE, 2017: 1-4.

[2] MONTOYA-TORRES J R, LÓPEZ FRANCO J, NIETO ISAZA S, et al. A literature review on the vehicle routing problem with multiple depots [J]. Computers & industrial engineering, 2015, 79: 115-129.

[3] TIAN Y, CHENG R, ZHANG X Y, et al. A strengthened dominance relation considering convergence and diversity for evolutionary many-objective optimization [J]. IEEE transactions on evolutionary computation, 2019, 23(2): 331-345.

[4] JIANG S Y, YANG S X. A strength Pareto evolutionary algorithm based on reference direction for multiobjective and many-objective optimization [J]. IEEE transactions on evolutionary computation, 2017, 21(3): 329-346.

[5] ZHANG Q F, LI H. MOEA/D: a multiobjective evolutionary algorithm based on decomposition [J]. IEEE transactions on evolutionary computation, 2007, 11(6): 712-731.

[6] CHENG R, JIN Y C, OLHOFFER M, et al. A reference vector guided evolutionary algorithm for many-objective

optimization [J]. IEEE transactions on evolutionary computation, 2016, 20(5): 773-791.

[7] CAI X Y, MEI Z W, FAN Z, et al. A constrained decomposition approach with grids for evolutionary multiobjective optimization [J]. IEEE transactions on evolutionary computation, 2018, 22(4): 564-577.

[8] ZHANG X Y, ZHENG X T, CHENG R, et al. A competitive mechanism based multi-objective particle swarm optimizer with fast convergence [J]. Information sciences, 2018, 427: 63-76.

[9] ZHANG H, ZHOU A M, SONG S M, et al. A self-organizing multiobjective evolutionary algorithm [J]. IEEE transactions on evolutionary computation, 2016, 20(5): 792-806.

[10] 谢承旺, 王志杰, 夏学文. 应用档案精英学习和反向学习的多目标进化算法 [J]. 计算机学报, 2017, 40(3): 757-772.

[11] 谢承旺, 邹秀芬, 夏学文, 等. 一种多策略融合的多目标粒子群优化算法 [J]. 电子学报, 2015, 43(8): 1538-1544.

[12] LI M, YANG S, LIU X. Pareto or non-Pareto: bi-criterion evolution in multiobjective optimization [J]. IEEE transactions on evolutionary computation, 2016, 20(5): 645-665.

[13] YUAN Y, XU H, WANG B, et al. Balancing convergence and diversity in decomposition-based many-objective optimizers [J]. IEEE transactions on evolutionary computation, 2016, 20(2): 180-198.

[14] STORN R, PRICE K. Differential evolution-a simple and efficient heuristic for global optimization over continuous spaces [J]. Journal of global optimization, 1997, 11(4): 341-359.

[15] CAO X J, LI G L, YE Q B, et al. Multi-objective optimization of permanent magnet synchronous motor based on elite retention hybrid simulated annealing algorithm [C]//2017 12th IEEE Conference on Industrial Electronics and Applications. New York: IEEE, 2017: 535-540.

[16] TIAN Y, CHENG R, ZHANG X Y, et al. PlatEMO: a MATLAB platform for evolutionary multi-objective optimization [J]. IEEE computational intelligence magazine, 2017, 12(4): 73-87.